

# Transformations

## II – Séries de Fourier

---

G. Chênevert

25 octobre 2021

**JUNIA** ISEN

# Au menu aujourd'hui

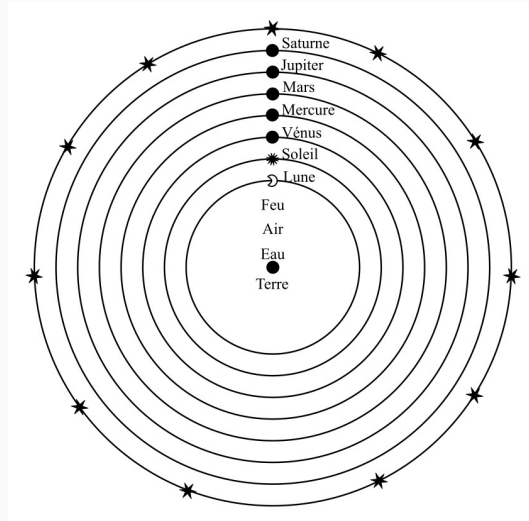
Introduction

Reprenons les bases

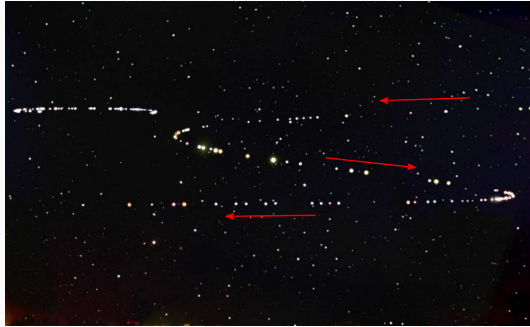
Séries de Fourier

Convergence

# Le système solaire d'Aristote

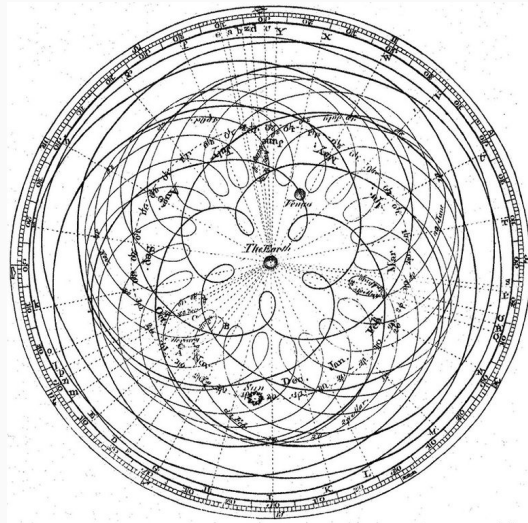


## Problème du mouvement rétrograde

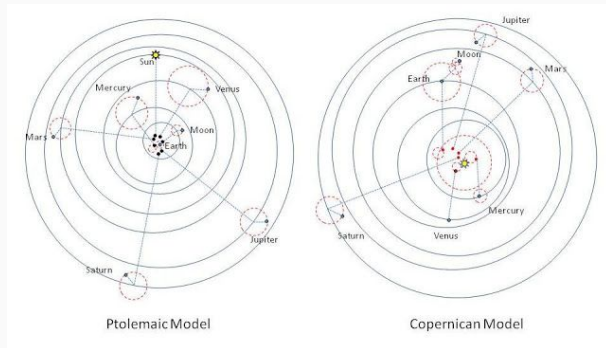


Solution : faire tourner les astres sur des cercles *qui tournent sur des cercles*

## Modèle de Ptolémée (II<sup>e</sup> siècle)



# Copernic (1513)



Met le soleil au centre... mais doit tout de même recourir aux artifices des épicycles

## Tycho Brahé (1587)

Pour rendre le modèle davantage compatible avec les observations astronomiques, et pouvoir faire des prédictions aussi précises qu'avec le modèle de Ptolémée, il introduit des épicycles supplémentaires !

Rétrospectivement : en introduisant suffisamment d'épicycles, on pourrait faire coller un tel modèle avec *n'importe quel* mouvement périodique.

## Voyez Pluto



Avec 250 épicycles ([explication ici](#) pour les impatientes)



## Théorie analytique de la chaleur (1822)

Introduit pour résoudre l'équation de propagation de la chaleur

$$\frac{\partial u}{\partial t} = \alpha \frac{\partial^2 u}{\partial x^2}$$

les *séries trigonométriques* qui portent aujourd'hui son nom.

184

### THÉORIE DE LA CHALEUR.

$$\cos. x - \frac{1}{3} \cos. 3x + \frac{1}{5} \cos. 5x - \frac{1}{7} \cos. 7x + \text{etc.}$$

n'est équivalente à  $\frac{1}{4} \pi$ , que si la variable  $x$  est contenue entre les limites que nous avons assignées. Il en est de même de la série

$$\sin. x - \frac{1}{2} \sin. 2x + \frac{1}{3} \sin. 3x - \frac{1}{4} \sin. 4x + \frac{1}{5} \sin. 5x - \text{etc.}$$

Cette suite infinie, qui est toujours convergente, donne la valeur  $\frac{1}{2} x$  toutes les fois que l'arc  $x$  est plus grand que 0, et moindre que  $\pi$ . Mais elle n'équivaut plus à  $\frac{1}{2} x$ , si l'arc surpasse  $\pi$ ; elle a au contraire des valeurs très-différentes

# Au menu aujourd'hui

Introduction

Reprenons les bases

Séries de Fourier

Convergence

# Représentations des fonctions

Quelles bases dans un espace de fonctions ?

- Polynômes
  - monômes :  $x^n$
  - monômes centrés en  $a$  :  $(x - a)^n$
  - interpolateurs (Lagrange)
- exponentielles complexes :  $e^{pt}$ ,  $p \in \mathbb{C}$  (Laplace)
- ondelettes en traitement d'images
- transformation de Hadamard (signaux binaires)
- ...

## Fonctions périodiques

On va s'intéresser aujourd'hui aux fonctions  $T$ -périodiques :

$$x(t + T) = x(t) \quad \text{pour tout } t \in \mathbb{R}.$$

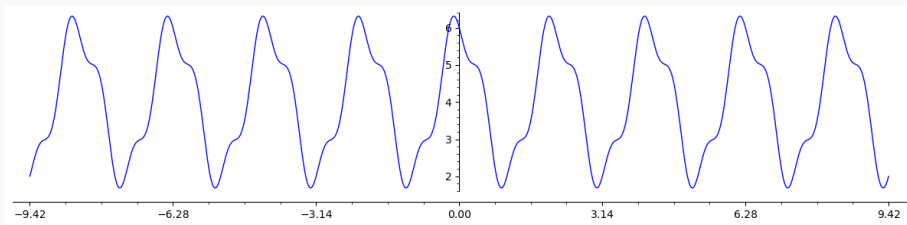
On en connaît quelques-unes :  $\cos(t)$ ,  $\sin(t)$  pour  $T = 2\pi$

Pour  $T > 0$  quelconque :  $\cos\left(\frac{2\pi t}{T}\right)$ ,  $\sin\left(\frac{2\pi t}{T}\right)$

mais aussi plus généralement :  $\cos\left(\frac{2\pi nt}{T}\right)$ ,  $\sin\left(\frac{2\pi nt}{T}\right)$ ,  $n \in \mathbb{N}$

## Exemple 1

$$x(t) = 4 + 2 \cos 3t - \frac{1}{2} \sin 9t$$

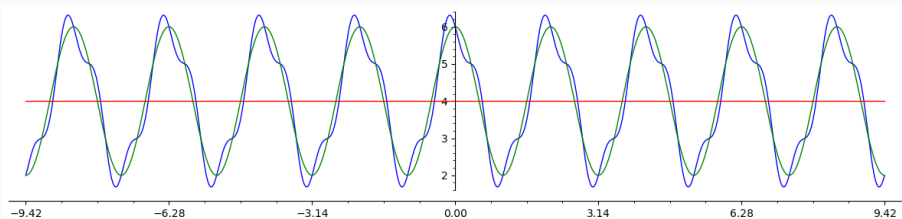


On peut prendre  $T = 2\pi$  mais aussi  $T = \frac{2\pi}{3}$  (ou tout autre multiple entier de  $\frac{2\pi}{3}$ )

## Exemple 1

On peut voir la fonction comme superposition d'*harmoniques* de fréquences de plus en plus élevées :

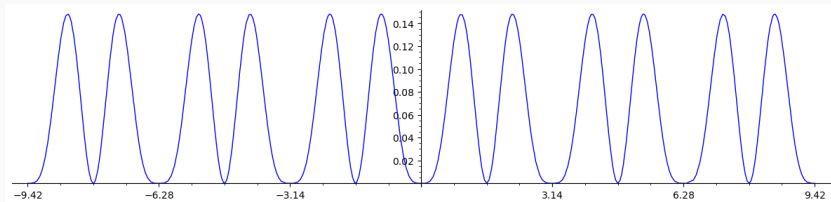
$$x(t) = 4 + 2 \cos 3t - \frac{1}{2} \sin 9t$$



## Exemple 2

$$x(t) = \cos^2(t) \sin^4(t)$$

qui est  $\pi$ -périodique (n'est-ce pas ?)



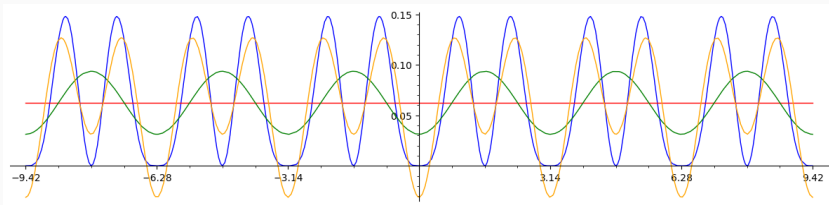
En *linéarisant* l'expression on trouve

$$x(t) = \frac{1}{16} - \frac{1}{32} \cos(2t) - \frac{1}{16} \cos(4t) + \frac{1}{32} \cos(6t)$$

## Exemple 2

$$x(t) = \frac{1}{16} - \frac{1}{32} \cos(2t) - \frac{1}{16} \cos(4t) + \frac{1}{32} \cos(6t)$$

Décomposition en harmoniques :





# Polynômes trigonométriques

## Rappel :

Un **polynôme trigonométrique** est une expression de la forme

$$P(\cos t, \sin t)$$

où  $P(x, y) \in \mathbb{R}[x, y]$  est un polynôme à deux variables.

Si  $P$  est de degré  $d$ , on peut *linéariser* l'expression  $P(\cos t, \sin t)$  à l'aide d'identités trigonométriques afin de l'écrire comme combinaison linéaire des fonctions

$$\cos(nt), \quad \sin(nt) \quad (n \leq d).$$

Ce sera la base qui nous intéresse !

# Au menu aujourd'hui

Introduction

Reprenons les bases

Séries de Fourier

Convergence

## Approche constructive

On travaille dans l'espace vectoriel des fonctions  $T$ -périodiques :  $x(t + T) = x(t)$ .

Posons pour  $n \in \mathbb{N}$  :

$$\mathbf{c}_n(t) = \cos\left(\frac{2\pi nt}{T}\right), \quad \mathbf{s}_n(t) = \sin\left(\frac{2\pi nt}{T}\right).$$

Cas particuliers :

$$\mathbf{c}_0(t) = 1, \quad \mathbf{s}_0(t) = 0.$$

# Orthogonalité

Par rapport au produit hermitien

$$\langle x | y \rangle = \int_0^T \overline{x(t)} y(t) dt,$$

la famille  $(\mathbf{c}_n, \mathbf{s}_n)_{n \in \mathbb{N}}$  est orthogonale.

Plus précisément :

$$\langle \mathbf{c}_n | \mathbf{s}_m \rangle = 0 \quad \text{pour tout } m, n \in \mathbb{N}$$

$$\langle \mathbf{c}_n | \mathbf{c}_m \rangle = \langle \mathbf{s}_n | \mathbf{s}_m \rangle = 0 \quad \text{pour tout } m \neq n$$

$$\|\mathbf{c}_n\|^2 = \|\mathbf{s}_n\|^2 = \frac{T}{2} \quad \text{pour tout } n > 0$$

$$\|\mathbf{c}_0\|^2 = T, \quad \|\mathbf{s}_0\| = 0.$$

## Ondes pures

On se rend rapidement compte qu'il est souvent bien plus agréable de tout exprimer en exponentielles complexes ...

### Définition

La  $n^{\text{e}}$  **onde pure** de période  $T$  est  $\mathbf{e}_n(t) := \exp\left(\frac{2\pi i n}{T} t\right) = e^{\frac{2\pi i n}{T} t} = \left(e^{\frac{2\pi i}{T} t}\right)^n = \mathbf{e}_1(t)^n$ .

Remarque : il faudra prendre en compte aussi les valeurs de  $n$  négatives !

C'est le prix à payer pour travailler avec le formalisme des exponentielles complexes.

# Orthogonalité

## Théorème (facile)

*La famille  $(\mathbf{e}_n)_{n \in \mathbb{Z}}$  est orthogonale et isonormée.*

*Plus précisément :*

$$\langle \mathbf{e}_n | \mathbf{e}_m \rangle = 0 \quad \text{pour tout } m \neq n,$$

$$\|\mathbf{e}_n\|^2 = T \quad \text{pour tout } n \in \mathbb{Z}.$$

Si nécessaire, on passera de la famille réelle  $(\mathbf{c}_n, \mathbf{s}_n)$  à la famille complexe  $(\mathbf{e}_n, \mathbf{e}_{-n})$  avec

$$\mathbf{e}_{\pm n} = \mathbf{c}_n \pm i\mathbf{s}_n, \quad \mathbf{c}_n = \frac{\mathbf{e}_n + \mathbf{e}_{-n}}{2}, \quad \mathbf{s}_n = \frac{\mathbf{e}_n - \mathbf{e}_{-n}}{2i} \quad (n \in \mathbb{N}).$$

## Décomposition en ondes pures

Cherchons donc à décomposer un signal  $T$ -périodique  $x$  quelconque comme combinaison linéaire d'ondes pures.

**Si** on peut écrire  $x = \sum_n c_n \mathbf{e}_n$ , alors

$$\langle \mathbf{e}_n | x \rangle = \left\langle \mathbf{e}_n \left| \sum_m c_m \mathbf{e}_m \right. \right\rangle = \sum_m c_m \langle \mathbf{e}_n | \mathbf{e}_m \rangle = T c_n$$

$$\Rightarrow c_n = \frac{\langle \mathbf{e}_n | x \rangle}{\|\mathbf{e}_n\|^2} = \frac{1}{T} \int_0^T x(t) e^{-\frac{2\pi i n}{T} t} dt.$$

## Définition officielle

Rien ne nous empêche, étant donnée une fonction  $x$  définie sur un intervalle  $[a, b]$  de longueur  $T$ , de poser

**Définition (coefficients de Fourier de  $x$ )**

$$c_n := \frac{\langle \mathbf{e}_n | x \rangle}{\|\mathbf{e}_n\|^2} = \frac{1}{T} \int_a^b x(t) e^{-\frac{2\pi i n}{T} t} dt$$

et de définir la **série de Fourier de  $x$**  dont les sommes partielles sont :

$$S_N(t) = \sum_{n=-N}^N c_n \mathbf{e}_n(t) = \sum_{n=-N}^N c_n e^{\frac{2\pi i n}{T} t}$$

et somme totale  $S(t)$ , de  $-\infty$  à  $+\infty$ , si elle a un sens.



## Coefficients de Fourier « réels »

Note : on pourrait aussi travailler avec la famille orthogonale  $(\mathbf{c}_n, \mathbf{s}_n)$  et poser

$$a_0 := \frac{\langle \mathbf{c}_0 | x \rangle}{\|\mathbf{c}_0\|^2} = \frac{1}{T} \int_a^b x(t) dt$$

$$a_n := \frac{\langle \mathbf{c}_n | x \rangle}{\|\mathbf{c}_n\|^2} = \frac{2}{T} \int_a^b x(t) \cos\left(\frac{2\pi nt}{T}\right) dt \quad (n > 0),$$

$$b_n := \frac{\langle \mathbf{s}_n | x \rangle}{\|\mathbf{s}_n\|^2} = \frac{2}{T} \int_a^b x(t) \sin\left(\frac{2\pi nt}{T}\right) dt \quad (n > 0).$$

de sorte que

$$S_N(t) = \sum_{n=0}^N (a_n \mathbf{c}_n(t) + b_n \mathbf{s}_n(t)) = \sum_{n=0}^N \left( a_n \cos\left(\frac{2\pi nt}{T}\right) + b_n \sin\left(\frac{2\pi nt}{T}\right) \right)$$

## Exemple 1

$$x(t) = 4 + 2 \cos 3t - \frac{1}{2} \sin 9t$$

vue comme fonction  $2\pi$ -périodique, on peut vérifier que les intégrales nous redonnent bien les coefficients.

$$a_0 = 4, \quad a_3 = 2, \quad b_9 = -\frac{1}{2}, \quad \text{tous les autres } 0.$$

$$x(t) = 4 + e_3(t) + e_{-3}(t) + \frac{i}{4}e_9(t) - \frac{i}{4}e_{-9}(t)$$

$$c_0 = 4, \quad c_3 = 1, \quad c_{-3} = 1, \quad c_9 = \frac{i}{4}, \quad c_{-9} = -\frac{i}{4}, \quad c_n = 0 \text{ pour tout autre } n$$

(et si on la voit comme fonction  $\frac{2\pi}{3}$ -périodique?)

## Exemple 2

$$x(t) = \cos^2(t) \sin^4(t)$$

vu comme fonction  $\pi$ -périodique

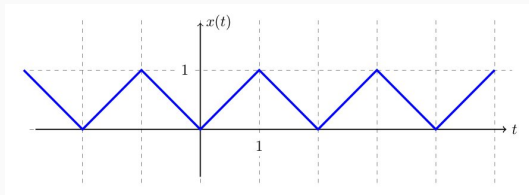
$$x(t) = \frac{1}{16} - \frac{1}{32} \cos(2t) - \frac{1}{16} \cos(4t) + \frac{1}{32} \cos(6t)$$

On a

$$a_0 = \frac{1}{16}, \quad a_2 = -\frac{1}{32}, \quad a_4 = -\frac{1}{16}, \quad a_8 = \frac{1}{32}$$

$$c_0 = \frac{1}{16}, \quad c_1 = c_{-1} = -\frac{1}{64}, \quad c_2 = c_{-2} = -\frac{1}{32}, \quad c_3 = c_{-3} = \frac{1}{64}$$

### Exemple 3 : onde triangulaire



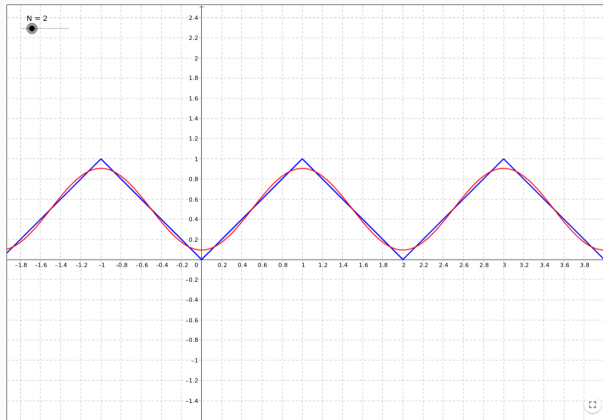
- Des points anguleux ??  $\implies$  nécessairement une infinité de termes !
- Les calculs (**faisons les !**) donnent

$$c_0 = \frac{1}{2}, \quad c_{2n+1} = \frac{-2}{\pi^2(2n+1)^2}, \quad c_{2n} = 0 \quad (n \neq 0)$$

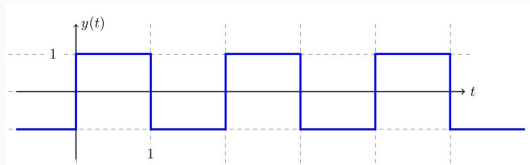
- Reconstruction :

$$S_{2N+1}(t) = \frac{1}{2} - 4 \sum_{n=0}^N \frac{\cos(2n+1)\pi t}{\pi^2(2n+1)^2}$$

# Reconstruction



## Exemple 4 : onde carrée



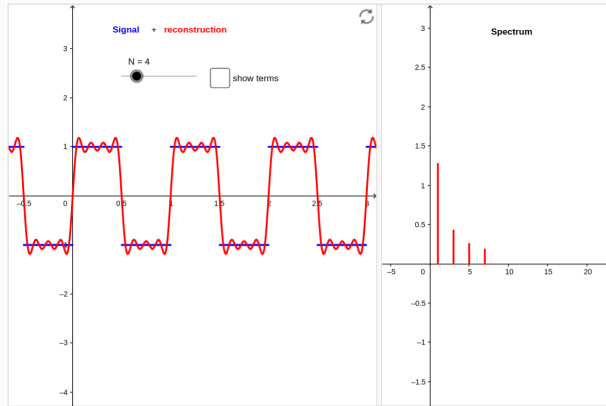
- Des discontinuités ??  $\Rightarrow$  une infinité de termes !
- On calcule

$$c_n = \dots = \frac{1 - (-1)^n}{\pi i n} \quad \text{i.e.} \quad c_{2n+1} = \frac{2}{\pi i (2n+1)}, \quad c_{2n} = 0$$

- Reconstruction :

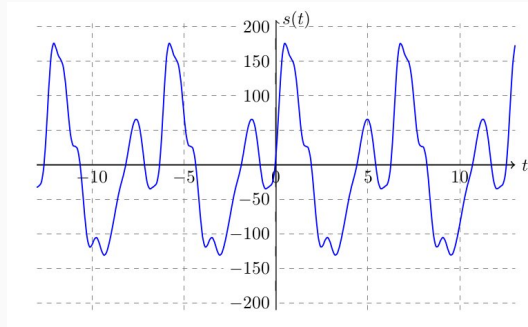
$$S_{2N+1}(t) = 4 \sum_{n=0}^N \frac{\sin(2n+1)\pi t}{\pi(2n+1)}$$

# Reconstruction



## Exemple 5 : Do<sup>3</sup> sur un orgue

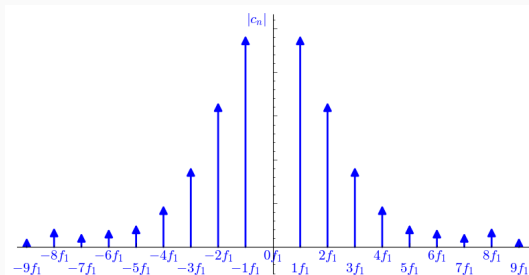
Vue temporelle :





## Exemple 5 : Do<sup>3</sup> sur un orgue

Vue fréquentielle :



avec  $f_1 = 261,6$  Hz

## S P E C T R E

### Définition

La suite de coefficients complexes  $(c_n)$  est le **spectre** de  $x$

$$x(t) \text{ périodique} \longrightarrow (c_n)_{n \in \mathbb{Z}}$$

donnant la proportion de chaque onde pure présente dans  $x$

# Spectre

Attention : les  $c_n$  sont des complexes. . .

On se contente souvent de représenter  $|c_n|$  *spectre d'amplitude*

mais les informations de phase sont nécessaires pour la reconstruction du signal

$$f_n := \frac{2\pi}{T} n = n f_1$$

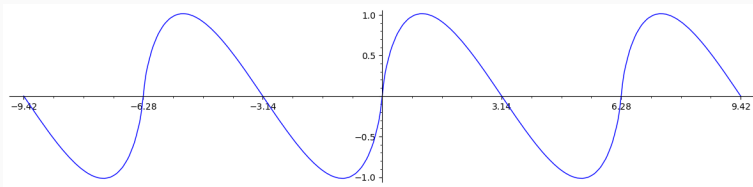
$f_1$  : *fréquence fondamentale*, les autres sont les fréquences des *harmoniques*

# Travail inverse

**Analyse** de Fourier : calculer les  $c_n$  à partir de  $x(t)$

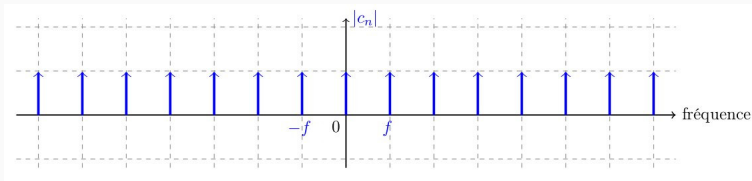
**Synthèse** de Fourier : reconstruire  $x(t)$  à partir des  $c_n$  (ou des  $a_n, b_n$ )

Par exemple : si on prend  $b_n = \frac{1}{n^2}$ ,  $a_n = 0$



## Autre exemple de synthèse

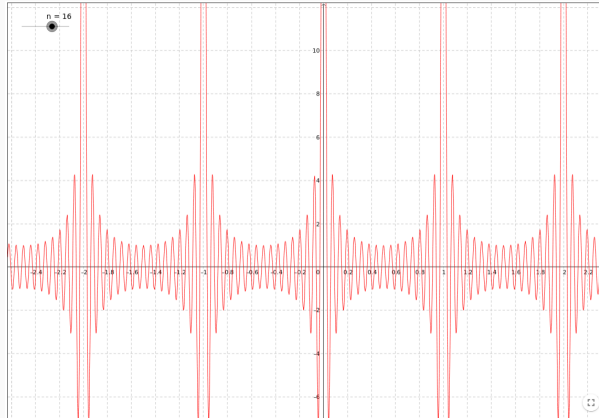
Si on part d'un spectre constant :  $c_n = 1$  pour tout  $n$



La reconstruction donne ce qu'on appelle le **noyau de Dirichlet** :

$$D_N(t) := \sum_{n=-N}^N e^{2\pi i n f t} = \frac{\sin(2N+1)\pi f t}{\sin \pi f t}$$

# Noyau de Dirichlet



# Au menu aujourd'hui

Introduction

Reprenons les bases

Séries de Fourier

Convergence

# Convergence ponctuelle

## Théorème (Dirichlet)

*Si  $x$  est continûment dérivable par morceaux, alors*

$$\lim_{N \rightarrow \infty} S_N(x)(t) = \frac{x(t^+) + x(t^-)}{2}$$

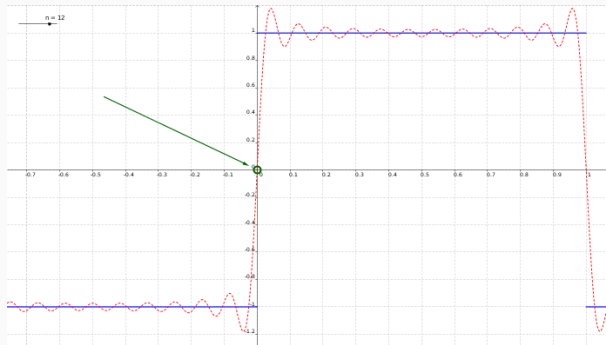
La preuve fait apparaître le noyau de Dirichlet (nous y reviendrons).

En particulier :

- là où  $x$  est continue, il y a convergence
- en un saut d'amplitude finie,  $S_N(x)(t)$  converge vers la valeur milieu



# Théorème de Dirichlet



## Produit scalaire

Pour  $x, y$  deux fonctions  $T$ -périodiques, on considère le produit hermitien

$$\langle x | y \rangle := \frac{1}{T} \int_a^{a+T} \overline{x(t)} y(t) dt.$$

La famille  $(\mathbf{e}_n)_{n \in \mathbb{Z}}$  est orthonormée pour ce produit scalaire

et les sommes partielles (reconstructions) ne sont que

$$S_N(x) = \sum_{n=-N}^N c_n \mathbf{e}_n \quad \text{avec} \quad c_n = \langle \mathbf{e}_n | x \rangle$$

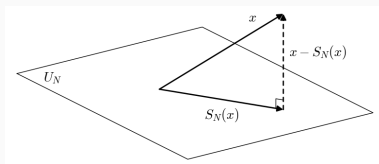
# Projection

En d'autres termes :

$S_N(x)$  est la projection de  $x$  sur le sous-espace  $U_N$  engendré par les ondes pures de fréquence  $f_n$ ,  $-N \leq n \leq N$

Mais alors . . .

- $S_N(x)$  est la meilleure approximation de  $x$  dans  $U_N$
- plus  $N$  augmente, et meilleure est l'approximation



# Convergence en moyenne quadratique

## Théorème (Parseval)

Si  $x$  est d'énergie  $\|x\|^2$  finie, alors

$$\|x\|^2 = \sum_{n=-\infty}^{+\infty} |c_n|^2$$

Conséquence : puisque les ondes pures capturent toute l'énergie de  $x$ , on conclut que

$$\|x - S_N(x)\| \longrightarrow 0 \quad \text{quand } N \rightarrow \infty.$$

## En d'autres termes

On a équivalence complète de points de vue (au sens du produit scalaire) entre

$$L_T^2(\mathbb{R}, \mathbb{C}) := \{x : \mathbb{R} \rightarrow \mathbb{C} \mid x : T\text{-périodique}, \|x\|^2 < +\infty\}$$

et l'ensemble des suites de carré sommable

$$\ell^2(\mathbb{Z}, \mathbb{C}) := \left\{ (c_n)_{n \in \mathbb{Z}} \mid \sum_n |c_n|^2 < +\infty \right\}$$

donnée par

$$x(t) \longleftrightarrow (c_n)_{n \in \mathbb{Z}}$$

$(\rightarrow)$  : Analyse et  $(\leftarrow)$  : Synthèse de Fourier

## Résumé

Tout signal  $T$ -périodique  $x(t)$  raisonnable (d'énergie finie) peut être représenté en **série de Fourier**

$$x(t) = \sum_{n \in \mathbb{Z}} c_n e^{\frac{2\pi i n t}{T}}$$

avec

$$c_n = \frac{\langle \mathbf{e}_n | x \rangle}{\|\mathbf{e}_n\|^2} = \frac{1}{T} \int_{t_0 - \frac{T}{2}}^{t_0 + \frac{T}{2}} x(t) e^{-\frac{2\pi i n t}{T}} dt.$$